

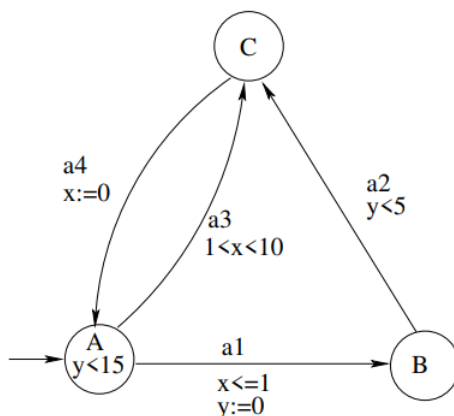
xmarci10

1	2	3	$\Sigma$

## Úloha č. 2

(Termín odovzdania 16.04.2020)

Všetky definície a vety použité v tejto práci sú z prednášok predmetu MBA [1,2].

Obr. 1: Časovaný automat  $\mathcal{A}_1$ 

**Príklad 1.** Uvažujme automat  $\mathcal{A}_1$  na obrázku 1:

- Obsahuje tento automat *zeno beh* ? Dokážte, alebo vyvráťte.
- Obsahuje tento automat *timelock* ? Ak áno uveďte beh vedúci do timelocku.

(2 body)

**Riešenie**

- (1a) Pri riešení tejto úlohy budeme vychádzať z definície hovoriacej o tom, čo to zeno beh vlastne je a taktiež z lemy hovoriacej o podmienkach pre neexistenciu zeno behu:

DEFINÍCIA 6 [1]: Nech  $\mathcal{A}$  je časovaný automat a  $\rho = c_1 \xrightarrow{s_1} c_2 \xrightarrow{s_2} c_3 \xrightarrow{s_3} \dots$  jeho časovo konvergentný nekonečný beh.  $\rho$  nazveme **zeno behom**, ak  $\rho$  obsahuje nekonečné množstvo diskretných krokov.

LEMMA 7 (Podmienka neexistencie zeho behu) [1]: Časový automat  $\mathcal{A}$ , kde pre každý riadiaci cyklus

$$l_0 \xrightarrow{g_1, a_1, R_1} l_1 \xrightarrow{g_2, a_2, R_2} \dots \xrightarrow{g_n, a_n, R_n} l_n = l_0$$

existujú hodiny  $x \in \mathcal{C}$ , také že:

- $x \in R_i$  pre nejaké  $0 < i \leq n$  (hodiny  $x$  sú aspoň raz resetované)
- Existuje konštanta  $c \in \mathbb{N}^+$  taká že  $\nu(x) < c \rightarrow \nu(x) \not\models g_i$  pre nejaké  $0 < i \leq n$  (aspoň jeden krok cyklu vyžaduje beh času)

V časovanom automate na obrázku 1 existujú dva riadiace cykly, ktoré majú tvar požadovaný LEMMOU 7:

**cyklus 1**  $A \rightarrow C \rightarrow A$

- hodiny  $x$  sú resetované ( $x := 0$ )
- podmienka  $1 < x \Rightarrow c = 1$

**cyklus 2**  $A \rightarrow B \rightarrow C \rightarrow A$

- hodiny  $x$  aj hodiny  $y$  sú resetované ( $x := 0, y := 0$ )
- neexistuje konštanta  $c$  podľa LEMMY 7  $\Rightarrow$  žiadny krok cyklu si nevyžaduje beh času

Podmienka neexistencie zeno behu **nie je splnená**.

**Príklad zeno behu** v časovanom automate z obrázku 1:

$$(A; [0, 0]) \xrightarrow{a_1} (B; [0, 0]) \xrightarrow{a_2} (C; [0, 0]) \xrightarrow{a_4} (A; [0, 0]) \xrightarrow{a_1} \dots$$

Táto sekvencia diskretných krokov sa môže opakovať donekonečna bez nutnosti behu času a tak tento beh splňuje DEFINÍCIU 6.

- (1b) DEFINÍCIA 5 (Timelock) [1]: Nech  $c = (l, \nu)$  je konfigurácia časovaného automatu  $\mathcal{A}$ .  $Paths_{div}(c)$  potom označuje množinu časovo divergentných behov zo stavu  $c$ . Konfiguráciu  $c$  nazveme **timelock** ak  $Paths_{div}(c) = \emptyset$ .

**ÁNO** zadaný automat z obrázku 1 **obsahuje timelock**. Príklad timelock-u je napríklad konfigurácia  $(A; [14, 14])$ . Prvá odchádzajúca hrana zo stavu  $A$  je  $A \xrightarrow{a_1, x \leq 1, y := 0} B$ , no tento krok nemožno vykonať kvôli guard-u  $x \leq 1$ . Ďalšia odchádzajúca hrana je  $A \xrightarrow{a_3, 0 < x < 10} C$ , ktorú ale taktiež nemožno kvôli jej guardu vykonať. Zároveň nám guard v lokácii  $A$  nedovoľuje neobmedzený beh času a tak  $Paths_{div}((A; [14, 14])) = \emptyset$ . Príklad behu vedúceho do timelock-u.

$$(A; [0, 0]) \xrightarrow{14.0} (A; [14, 14])$$

**Príklad 2.** Dokážte, že jazyky časovaných automatov<sup>1</sup> sú uzatvorené voči operácii zjednotenia a konkatenácie.

(2 body)

### Riešenie

2. Dôkazy oboch vlastností budú ukázané metódou, kedy to, že jazyky časovaných automatov sú uzatvorené voči nejakej operácii ukážeme konštrukciou automatu  $\mathcal{A}$  takého, že  $\mathcal{L}(\mathcal{A}) = \mathcal{L}(\mathcal{A}_1) \oplus \mathcal{L}(\mathcal{A}_2)$ , kde  $\oplus \in \{\cdot, \cup\}$ .

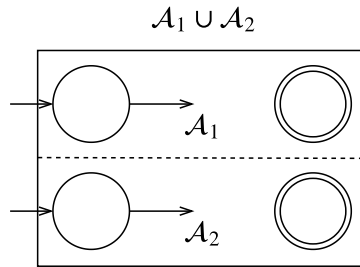
**Teorém 2.1.** Jazyky časovaných automatov sú uzatvorené voči operácii zjednotenia.

**Dôkaz.** Nech  $\mathcal{A}_1 = (Loc_1, Act, \mathcal{C}_1, \hookrightarrow_1, Loc_{0_1}, Inv_1, AP_1, L_1, Loc_{acc_1})$  a  $\mathcal{A}_2 = (Loc_2, Act, \mathcal{C}_2, \hookrightarrow_2, Loc_{0_2}, Inv_2, AP_2, L_2, Loc_{acc_2})$  sú časované automaty prijímajúce jazyky  $\mathcal{L}(\mathcal{A}_1)$  a  $\mathcal{L}(\mathcal{A}_2)$ . Bez ujmy na obecnosti uvažujme, že  $\mathcal{C}_1 \cap \mathcal{C}_2 = \emptyset$  a  $Loc_1 \cap Loc_2 = \emptyset$ .

Nech  $\mathcal{A} = (Loc, Act, \mathcal{C}, \hookrightarrow, Loc_0, Inv, AP, L, Loc_{acc})$  je časovaný automat definovaný nasledovne:

- $Loc = Loc_1 \cup Loc_2$
- $\mathcal{C} = \mathcal{C}_1 \cup \mathcal{C}_2$
- $\hookrightarrow = \hookrightarrow_1 \cup \hookrightarrow_2$
- $Loc_0 = Loc_{0_1} \cup Loc_{0_2}$
- $Loc_{acc} = Loc_{acc_1} \cup Loc_{acc_2}$
- $Inv = Inv_1 \cup Inv_2$
- $AP = AP_1 \cup AP_2$
- $L = L_1 \cup L_2$

Z definície automatu  $\mathcal{A}$  je vidieť, že jazyk  $\mathcal{L}(\mathcal{A}) = \mathcal{L}(\mathcal{A}_1) \cup \mathcal{L}(\mathcal{A}_2)$ .



Obr. 2: Zjednotenie dvoch časovaných automatov. Oba časované automaty budú bežať paralelne. V prípade, že časované slovo  $w \in \mathcal{L}(\mathcal{A}_1)$ , bude prijaté automatom  $\mathcal{A}_1$  a ak naopak platí, že  $w \in \mathcal{L}(\mathcal{A}_2)$  prijme ho automat  $\mathcal{A}_2$ .

**Teorém 2.2.** Jazyky časovaných automatov sú uzatvorené voči operácii konkatenácie.

**Dôkaz.** Nech  $\mathcal{A}_1 = (Loc_1, Act, \mathcal{C}_1, \hookrightarrow_1, Loc_{0_1}, Inv_1, AP_1, L_1, Loc_{acc_1})$  a  $\mathcal{A}_2 = (Loc_2, Act, \mathcal{C}_2, \hookrightarrow_2, Loc_{0_2}, Inv_2, AP_2, L_2, Loc_{acc_2})$  sú časované automaty prijímajúce jazyky  $\mathcal{L}(\mathcal{A}_1)$  a  $\mathcal{L}(\mathcal{A}_2)$ . Bez ujmy na obecnosti uvažujme, že  $Loc_1 \cap Loc_2 = \emptyset$ .

Nech  $\mathcal{A} = (Loc, Act, \mathcal{C}, \hookrightarrow, Loc_0, Inv, AP, L, Loc_{acc})$  je časovaný automat definovaný nasledovne:

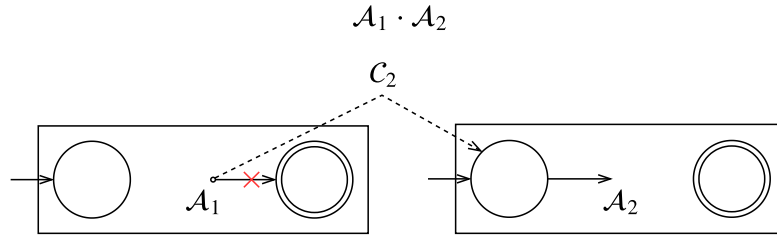
<sup>1</sup>Uvažujte jazyky nad konečnými slovami s množinou koncových stavov  $Loc_{acc}$

- $Loc = Loc_1 \cup Loc_2$
- $\mathcal{C} = \mathcal{C}_1 \cup \mathcal{C}_2$
- $Loc_0 = Loc_{0_1}$
- $Loc_{acc} = Loc_{acc_2}$
- $\hookrightarrow := \hookrightarrow_1 \cup \hookrightarrow_2$
- $Inv = Inv_1 \cup Inv_2$
- $AP = AP_1 \cup AP_2$
- $L = L_1 \cup L_2$
- $\cup \{(q, g, a, r \cup \mathcal{C}_2, i) : i \in Loc_{0_2} \wedge \exists f \in Loc_{acc_1} : (q, g, a, r, f) \in \hookrightarrow_1\}$
- $\setminus \{(q, g, a, r, f) \in \hookrightarrow_1 : f \in Loc_{acc_1}\}$

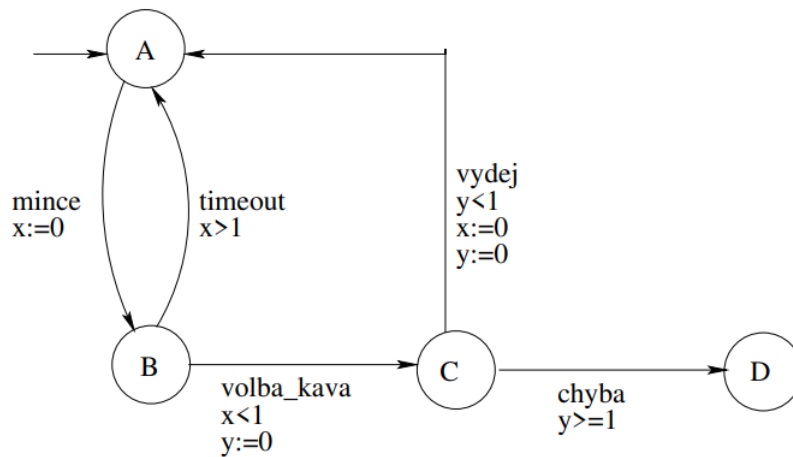
Z definície automatu  $\mathcal{A}$  je vidieť, že:

$$\mathcal{L}(\mathcal{A}) = \mathcal{L}(\mathcal{A}_1) \cdot \mathcal{L}(\mathcal{A}_2) = \{uv : u \in \mathcal{L}(\mathcal{A}_1) \wedge v \in \mathcal{L}(\mathcal{A}_2)\}$$

.



Obr. 3: Konkatenácia dvoch časovaných automatov. Automat  $\mathcal{A}_1$  prečíta reťazec  $u$ , ale namiesto toho aby prešiel do koncového stavu, tak prejde do počiatočného stavu automatu  $\mathcal{A}_2$  pričom resetuje všetky hodiny  $\mathcal{C}_2$ . Automat  $\mathcal{A}_2$  potom prijme reťazec  $v$  a akceptuje.

Obr. 4: Časovaný automat  $\mathcal{A}_2$ 

**Príklad 3.** Uvažujme automat  $\mathcal{A}_2$  na obrázku 4 s množinou atomických predikátov  $AP = \{init, error, run\}$  a funkciou  $L$  definovanou nasledovne:

$$L(A) = \{init, run\}, L(D) = \{error\}, L(B) = L(C) = \{run\}$$

- Zostavte abstrakciu založenú na regiónoch (stačí zostrojiť iba stavy dostupné z počiatočnej konfigurácie).
- Rozhodnite, či je dostupný stav v ktorom platí predikát *error*.
- Rozhodnite či platí  $\mathcal{A}_2 \models \exists(run \ U^{<2} \ error)$ .
- Rozhodnite či platí  $(B, x = y = 0) \models \forall(run \ U^{<2} \ init)$ .

Svoje tvrdenia zdôvodnite.

(4 body)

### Riešenie

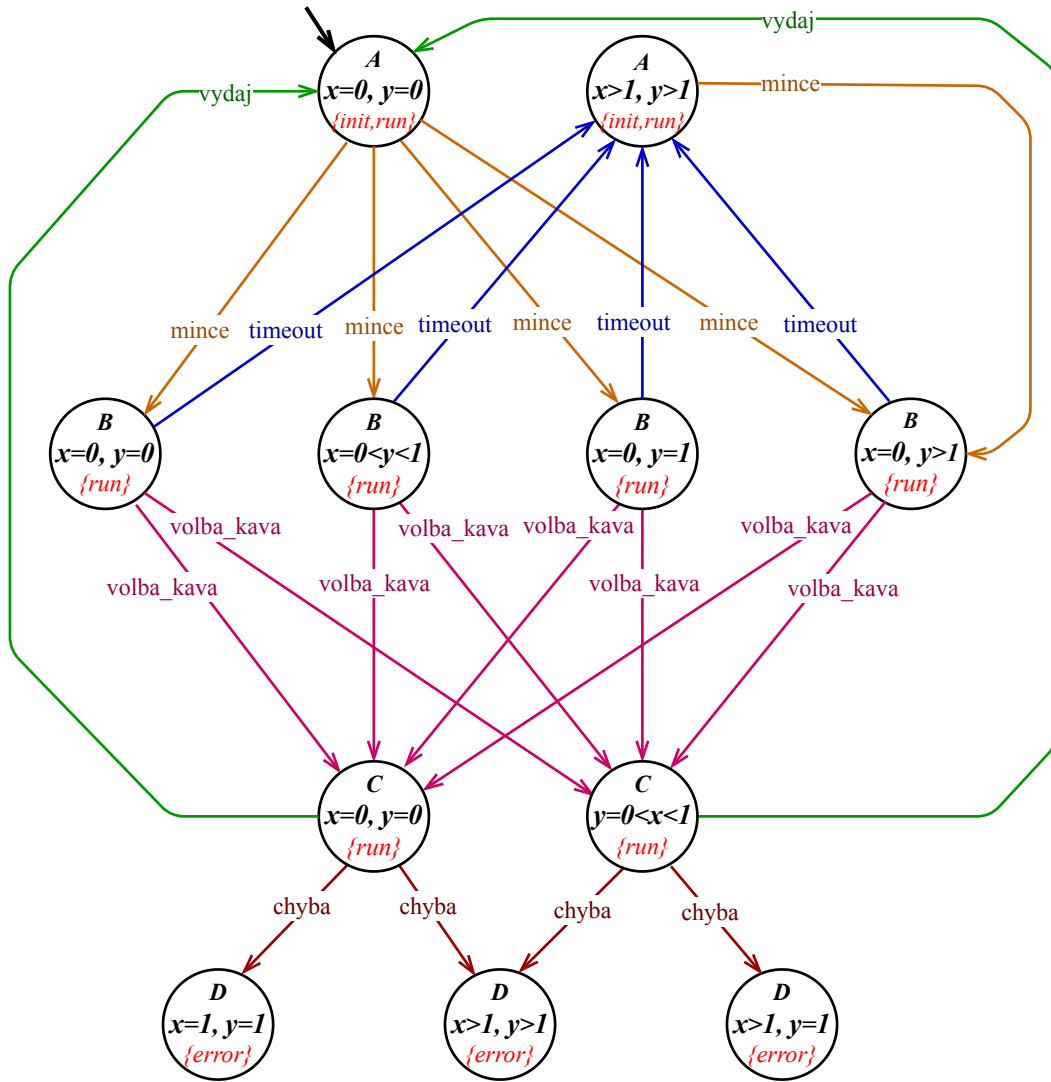
- (3a) Abstrakcia založená na regiónoch pre časovaný automat  $\mathcal{A}_2$  (viz Obr. 4) je zobrazená na obrázku 5. Zobrazené sú iba stavy dostupné z počiatočnej konfigurácie. Pri konštrukcii boli taktiež uvažované aj kroky, ktoré obsahujú nulový posun času.
- (3b) Túto vlastnosť môžeme overiť na základe zkonštruovanej regiónovej abstrakcie. Na obrázku 5 je možné vidieť, že sú dosiahnuteľné až tri stavy v ktorých platí predikát *error*.

Príklad behu vedúceho do stavu spĺňajúceho predikát *error* (čiže do stavu *D*) môže vyzeráť nasledovne:

$$(A; [0, 0]) \xrightarrow{\text{mince}} (B; [0, 0]) \xrightarrow{\text{volba\_kava}} (C; [0, 0]) \xrightarrow{1.0, \text{chyba}} (D; [1, 1])$$

Na overenie tejto úlohy bol taktiež použitý nástroj UPPAAL<sup>2</sup>. Model časovaného automatu  $\mathcal{A}_2$  v nástroji UPPAAL je zobrazený na obrázku 6.

<sup>2</sup>UPPAAL je integrované prostredie na modelovanie, validáciu a verifikáciu systémov pracujúcich v reálnom čase, ktoré sú modelované ako siete časovaných automatov. Viac informácií viz: <http://www.upsaal.org/>



Obr. 5: Abstrakcia založená na regiónoch pre časovaný automat z obrázku 4.

Pri overovaní, či je stav v ktorom platí predikát *error* (stav *D*) dostupný sme použili UPPALL **Verifier**, kde sme zadali dotaz v tvare  $E \langle \rangle \text{Process.D}$ <sup>3</sup>. Tento dotaz reprezentuje UPPALL notáciu formuly  $\exists \diamond \text{Process.D}$ , ktorá môže byť voľne preložená ako „je možné dosiahnuť stav *D* v automate **Process** ?“.

Výsledok z nástroja UPPALL je možné vidieť na obrázku 7. Z obrázku je viditeľné, že spomínaná formula je platná a teda stav *D* (v ktorom platí predikát *error*) je **dosiahnuteľný**.

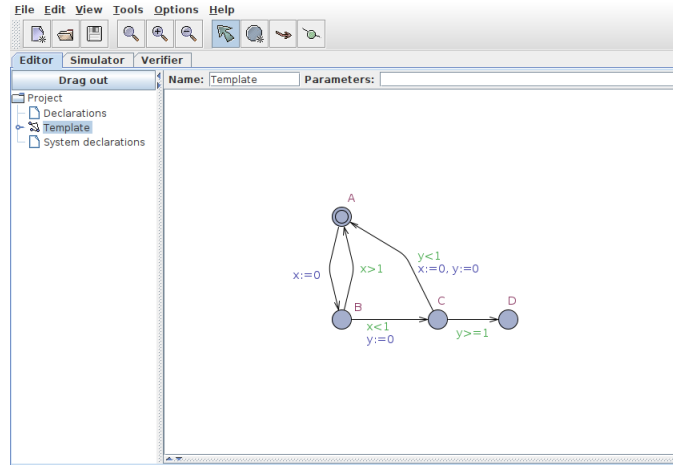
(3c) DEFINÍCIA 5 [2]: Povieme, že automat splňuje formulu  $\phi$  ( $A \models \phi$ ) ak:

$$\text{Init}_A \subseteq \text{Sat}(\phi)$$

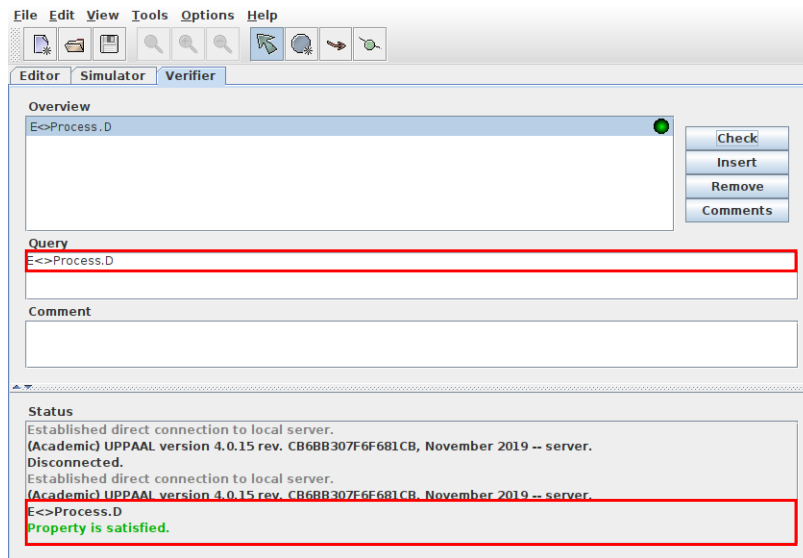
kde  $\text{Init}_A$  je množina počiatočných konfigurácií:  $\text{Init}_A = \{(l, 0^{|C|}) | l \in \text{Loc}_0\}$  a  $\text{Sat}(\phi)$  je množina konfigurácií spĺňajúcich formulu  $\phi$ :

$$\text{Sat}(\phi) = \{(l, \nu) | l \in \text{Loc}, \nu \in \mathbb{R}_{\geq 0}^{|C|}, (l, \nu) \models \phi\}$$

<sup>3</sup>Process je meno automatu  $\mathcal{A}_2$  v prostredí UPPAAL.



Obr. 6: Automat  $\mathcal{A}_2$  z obrázku 4 v nástroji UPPAAL. Modré výrazy znázorňujú reset hodín a zelené výrazy sú *guard*-y jednotlivých prechodov.



Obr. 7: Výsledok overenia úlohy (3b) v prostredí UPPAAL.

Keďže automat  $\mathcal{A}_2$  má iba jednu počiatočnú konfiguráciu môžeme overované tvrdenie previesť na tvar:

$$(A, x = y = 0) \models \exists(\text{run } U^{<2} \text{ error})$$

Teraz z DEFINÍCIE 2 [2] hovoriacej o relácii splniteľnosti vieme, že konfigurácia  $s$  spĺňa formulu  $\exists\phi$  ak  $\pi \models \phi$  pre **nejakú** cestu  $\pi \in \text{Paths}_{div}(s)$ .

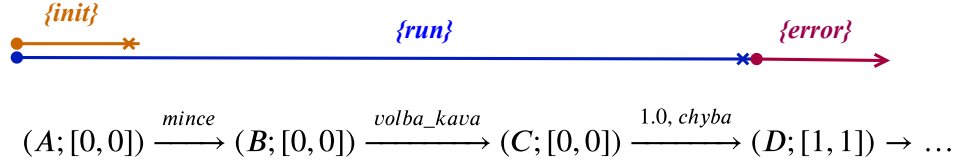
Takže aby zadané tvrdenie bolo pravdivé musí v časovanom automate  $\mathcal{A}_2$  existovať časovo divergentná cesta z počiatočnej konfigurácie, ktorá spĺňa formulu  $(\text{run } U^{<2} \text{ error})$ .

Podľa DEFINÍCIE 3 z [2] teda musí platiť, že (1) existuje časový okamih  $t \in \langle 0, 2 \rangle$  v ktorom platí atomická podmienka *error* a zároveň (2) pre ľubovoľný časový okamih menší ako  $t$  platí formula  $\text{run} \vee \text{error}$ .

Príklad takéhoto behu je na obrázku 8. V tomto behu je časový okamih  $t$  v ktorom platí atomická podmienka *error* rovný 1, čiže patrí do intervalu  $\langle 0, 2 \rangle$ , a tým je

splnená prvá podmienka z DEFINÍCIE 3.

Zároveň platí aj druhá podmienka DEFINÍCIE 3, keďže pre ľubovoľný časový okamih menší ako 1 platí atomická podmienka *run*.



Obr. 8: Dôkaz, že časovaný automat  $\mathcal{A}_2$  **spĺňa** formulu  $\exists(\text{run } U^{<2} \text{ error})$ . Krúžok značí začiatok platnosti atomickej podmienky, krížik znamená koniec platnosti atomickej podmienky a šípka trvanie jej platnosti.

(3d) Podobne ako v predchádzajúcom bode, na to aby sme rozhodli či platí

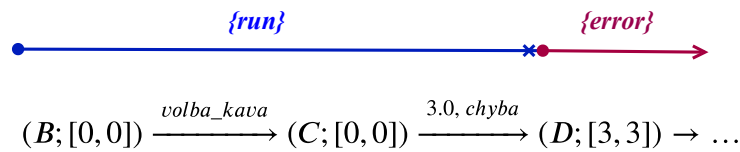
$$(B, x = y = 0) \models \forall(\text{run } U^{<2} \text{ init})$$

použijeme DEFINÍCIU 2 z [2]. Tentokrát pre zmenu použijeme časť hovoriacu o tom, že aby konfigurácia  $(B, x = y = 0)$  spĺňovala formulu  $\forall(\text{run } U^{<2} \text{ init})$  tak musí platiť, že  $\pi \models (\text{run } U^{<2} \text{ init})$  pre **všetky** cesty  $\pi \in \text{Paths}_{div}(B, x = y = 0)$ .

To, že zadané tvrdenie nie je pravdivé ukážeme formou dokazovania protipríkladom. To znamená, že nájdeme časovo divergentný beh vedúci z konfigurácie  $(B; [0, 0])$ , ktorý nespĺňa formulu  $(\text{run } U^{<2} \text{ init})$ .

Príklad takéhoto behu je na obrázku 9. Z tohto behu môžeme vidieť, že už prvá podmienka z DEFINÍCIE 3 (uvedenej vyššie) nie je splnená keďže neexistuje časový okamih z intervalu  $\langle 0, 2 \rangle$  v ktorom by platila atomická formula *init*. Z toho vyplýva, že zadané tvrdenie **neplatí**.

To že všetky divergentné cesty z konfigurácie  $(B; [0, 0])$  nespĺňajú formulu  $(\text{run } U^{<2} \text{ init})$  môžeme vidieť aj z regiónovej abstrakcie na obrázku 5. Môžeme si všimnúť, že ak sa časovaný automat  $\mathcal{A}_2$  raz dostane zo stavu  $(B; [0, 0])$  do niektorého stavu spĺňajúceho predikát *error* už nikdy sa nedostane do stavu v ktorom by platil predikát *init*.



Obr. 9: Dôkaz, že konfigurácia  $(B, x = y = 0)$  **nespĺňa** formulu  $\forall(\text{run } U^{<2} \text{ init})$ .



## Literatúra

- [1] Rogalewicz, A.: *Časované automaty - Abstrakce založená na regionech* (prednáška MBA). marec 2020.  
URL <https://www.fit.vutbr.cz/study/courses/MBA/private/prednasky/TA-1.pdf>
- [2] Rogalewicz, A.: *Časované automaty - Logika TCTL* (prednáška MBA). marec 2020.  
URL <https://www.fit.vutbr.cz/study/courses/MBA/private/prednasky/TA-2.pdf>